

風波のスペクトルについての考察

九州大学工学部 正員 井島 武士
 同上 学生員 大石 敏文
 同上 植 博行

1. 緒言

風による波の発生機構の問題ならびに波浪予測に関する問題に際して、方向性も含んだ風波の不規則性について知る必要がある。海岸構造物設計の場合には、波の方向は、波峰に直角の方角として決定するが、不連続な波の方角は、時間的、場所的に変化する。この不連続な波の特性は、波向と周期数に関する風波のエネルギー分布を示す二次元スペクトルによって知ることができる。

著者等は、有義波高 平均周期の2個の統計量から、風波の二次元スペクトルを決定する方法を研究した。

2. 周波数スペクトル

Frequency Spectrum として

$$\Phi(\sigma) = d \cdot g^2 \sigma^{-5} \exp\left\{-\beta_*(\frac{\sigma}{\sigma_{10}})^4\right\} \quad (1)$$

g : 重力加速度 (m/sec^2), σ : 周波数 (sec^{-1}), σ_{10} : 周期速度 (m/sec)

の形を仮定する。このスペクトル形状は

$$\frac{d \sigma \bar{U}_h}{g} = \left(\frac{4}{5} \beta_*\right)^4 \quad (2)$$

において、Maximumを示し、その値は次のようである。

$$\Phi(\sigma_*) = d \cdot g^2 \sigma_*^{-5} e^{-\frac{4}{5}} \quad (3)$$

従って Maximum density $\Phi(\sigma_*)$ とその Frequency σ_* が、

与えられると、(2)式と(3)式とから

$$\beta_* = \frac{5}{4} \left(\frac{d \sigma \bar{U}_h}{g} \right)^{\frac{1}{4}} \quad (4)$$

$$d_* = \frac{\beta_*}{g^2} \cdot \sigma_*^5 \Phi(\sigma_*) \quad (5)$$

となる。Maximum density $\Phi(\sigma_*)$ は Phillips(1966)によると

$$\Phi(\sigma_*) = A \cdot \frac{\bar{U}_h^4}{g^2} \frac{\sinh(\mu \sigma_*)}{\mu \sigma_*} \quad (6)$$

$$A = 240 \left(\frac{\bar{U}_h}{g} \right)^2 = 3.46 \times 10^{-4}, \mu: \text{coupling coefficient}$$

として与えられる。

(5)式と(6)式とを(1)式に代入して

$$\Phi(\sigma, t) = A \cdot \frac{\bar{U}_h^4}{g^2} \left(\frac{\sigma}{\sigma_{10}} \right)^5 \frac{\sinh(\mu \sigma_{10})}{\mu \sigma_{10}} \exp\left\{-\frac{5}{4} \left(\frac{\sigma}{\sigma_{10}} \right)^4\right\} \quad (7)$$

一方、Pierson(1964)によると、平衡状態における Spectrum として、次の形が与えられている。

$$\Phi(\sigma) = d \cdot g^2 \sigma^{-5} \exp\left\{-\beta \left(\frac{\sigma}{\sigma_{10}} \right)^4\right\} \quad (8)$$

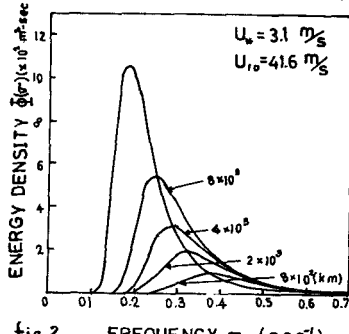
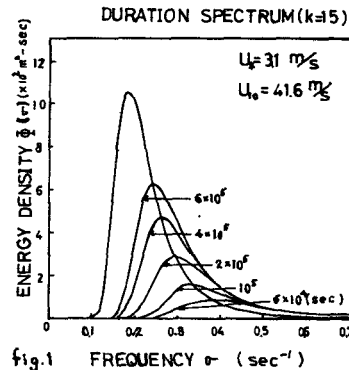
$$C_{10} = (0.80 + 0.114 \bar{U}_{10}) \times 10^{-3} \quad (10)$$

$$\bar{U} = (160 + \frac{1}{f C_{10}}) \bar{U}_{10} = K \bar{U}_{10} \quad (9)$$

$$\bar{U}_{10} = \frac{\bar{U}_h}{f C_{10}} \quad (11)$$

ここに $f = 8.10 \times 10^{-3}$, $\beta = 0.74$, \bar{U}_h : 海面上 $19.5 m/s$ における風速, \bar{U}_{10} : 海面上 $10 m$ における風速 (m/sec)

また (6)式で与えられる $\Phi(\sigma)$ は、そのある値において、(8)式で与えられる $\Phi(\sigma)$ に等しい値をとると考えられる。上述の假定より、式(7)を満足する $\Phi(\sigma)$ が、次式によつて求められる。



$$\frac{A}{\mu} \frac{\bar{U}_k^*(\frac{gt}{g})^5}{g^2} \frac{\sinh(\mu g t)}{\mu} = \exp\left\{-\beta\left(\frac{g}{K \bar{U}_k^*}\right)^2\right\} \quad (12)$$

かくして 式(9)は、duration t による Spectrum 即ち Duration Spectrum を表示する式となる。

次に Fetch x とすると、Phillips により

$$X = \frac{1}{2} C_0 + C_0 \cdot \text{Frequency } f_0 \text{ の成波の相速度} \quad (13)$$

これを、式(9)に用いて duration t を、fetch x に変換すると、Fetch Spectrum が求められる。

$$\bar{U}(t, x) = A \cdot C^* \frac{\bar{U}_k^*(\frac{gt}{g})^5}{g^2} \frac{\sinh(2\mu g t / C_0)}{\mu \cdot f_0} \cdot \exp\left\{-\frac{5}{4}\left(\frac{gt}{g}\right)^2\right\} \quad (14)$$

さらに

$$\tilde{C}_0 = \frac{g}{C_0} \quad (15)$$

を 式(9)、式(13)に代入すると次式を得る。

$$\bar{U}(t, x) = A \cdot C^* g^2 \frac{t^{-5}}{\mu (\frac{gt}{g})^2} \frac{\sinh(\mu \frac{gt}{g} / f_0)}{\mu} \exp\left\{-1.25 \frac{(\frac{gt}{g})^2}{(\frac{gt}{g})^2} t^{-5}\right\} \quad (16)$$

$$\bar{U}(t, x) = A \cdot C^* g^2 \frac{t^{-5}}{\mu (\frac{gt}{g})^2} \frac{\sinh(2\mu \frac{gt}{g} / f_0)}{\mu} \exp\left\{-1.25 \frac{(\frac{gt}{g})^2}{(\frac{gt}{g})^2} t^{-5}\right\} \quad (17)$$

Duration Spectrum(式(16))、Fetch Spectrum(式(17))を、 $K=15$ について示したのが、図1 図2である。

3. 海面波の統計量

水位変動 η の2乗平均 $\overline{s^2}$ は

$$\overline{s^2} = \int_0^\infty \bar{U}(t, x) dt \quad (18)$$

で表わされ 又有義波高(H_s)の無次元波高は

$$H_s = 400 \sqrt{\overline{s^2}}$$

の関係から

$$\frac{g H_s}{U_k^2} = 4.00 \frac{g \sqrt{\overline{s^2}}}{U_k^2}$$

と 表わされる。

(18)式 から

$$\overline{s^2} = \frac{A}{5} C^* \frac{\bar{U}_k^*(\frac{gt}{g})^5}{g^2} \frac{\sinh(\mu g t)}{\mu}$$

従って (15)式とより

$$\frac{g H_s}{U_k^2} = 400 \left[\frac{A}{5} C^* \left(\frac{\sinh(\mu \frac{gt}{g} / \tilde{C}_0)}{\mu} \right)^{\frac{1}{2}} \right] \quad (19)$$

と なる。

また、平均周期 T は

$$\tilde{T} = 2\pi \sqrt{\frac{\int_0^\infty \bar{U}(t, x) dt}{\int_0^\infty \bar{U}(t, x) dt}} \quad \text{II: 円周率} \quad (20)$$

で 表わされる。

(16)式 および (20)式 から

$$\tilde{T} = 7.9365832 \left(\frac{C_0}{U_k} \right) \left(\frac{U_k}{g} \right) \quad (21)$$

と なる。

Wilson によると有義波の無次元波高は

次式によつて与えられている。

$$\frac{g H_s}{U_k^2} = K_3 \left[1 - 1 / \left\{ \left[C_{10} K_4 \left(\frac{gt}{g} \right)^2 + 1 \right] \right\} \right] \quad (22)$$

ここで $K_3 = 0.30$, $K_4 = 0.004$

但し (19)式と (22)式は 互いに独立である。

RELATIONS ON C/U_k AND g^2/U_k^2 AND U_k

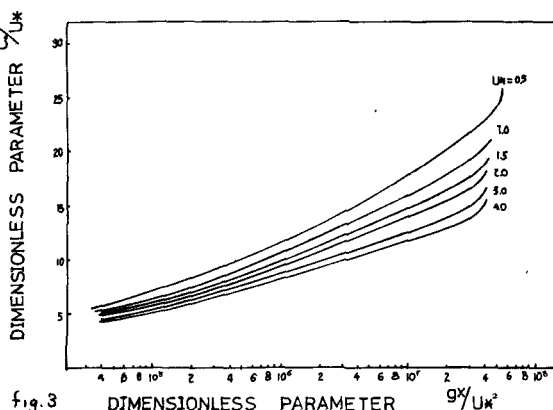


fig.3 DIMENSIONLESS PARAMETER g^2/U_k^2

RELATIONS ON C/U_k AND g^2/U_k^2 AND U_k

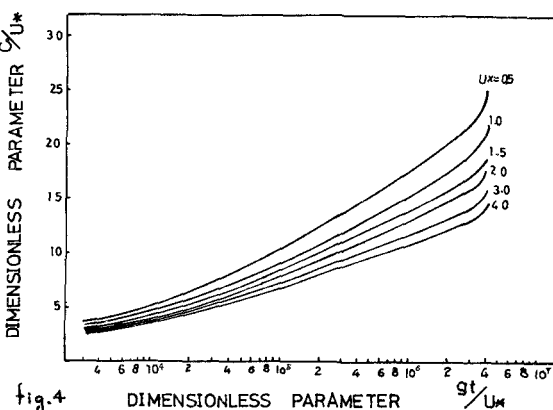


fig.4 DIMENSIONLESS PARAMETER g^2/U_k^2

(19)式を、(20)式を用いて無次元化すると、次式を得る。

$$\frac{A}{\alpha} \left(\frac{U_k}{C_0} \right)^4 \frac{\sinh(\mu \frac{gk}{U_k})}{\mu} = \exp \left\{ -\beta \left(\frac{C_0}{K_{10}} \right)^4 \right\} \quad (23)$$

(21)式を (20)式に代入すると

$$C_{10}^{\frac{1}{4}} \times 10^{-3} - 0.8 C_{10}^{\frac{1}{4}} = 0.114 U_*$$

となる。即ち C_{10} は U_* の関数となる。

また、(19)式より、 K も U_* の関数となる。

これを、それとれ次式で表わす。

$$C_{10} = f_1(U_*) \quad , \quad K = f_2(U_*) \quad (24)$$

(19), (22), (23), (24) 各式より

$$\frac{K_0}{f_2(C_0)} \left[1 - 1 \left[\left\{ K_0 \sqrt{\frac{f_1(U_*)}{f_2(U_*)}} \frac{gk}{U_k} + 1 \right\} \right] \right] = 4.00 \sqrt{\frac{K}{5}} \cdot C^{\frac{1}{4}} \left(\frac{C_0}{U_k} \right)^2 \exp \left\{ -0.5 \beta \left(\frac{1}{f_2(C_0)} \frac{C_0}{U_k} \right)^4 \right\} \quad (25)$$

を得る。 (25)式より $\frac{gk}{U_k}$ は $\frac{C_0}{U_k}$ と U_* の関数として表わされる。

表わされ、さらには (13)式を用いると $\frac{gk}{U_k}$ も $\frac{C_0}{U_k}$ と取て表わされる。上式によつて求め $f = \frac{gk}{U_k} - f \left(\frac{C_0}{U_k}, U_* \right)$ の値を、(22)式に代入するとともにまた $\frac{C_0}{U_k}$ と U_* の関数として表わされ、同様にして、(19)式と (22)式とより、 H_8 も $\frac{gk}{U_k}$ と U_* の関数として示される。

(21)式より $\frac{C_0}{U_k}$ は、 U_* の関数と \tilde{T} の積として次式で表わされる。

$$\frac{C_0}{U_k} = F(U_*) \tilde{T} \quad (26)$$

(19), (23), (24) 各式より次式を得る。

$$\frac{gkH_8}{U_k} = 4.00 \sqrt{\frac{K}{5}} \cdot C^{\frac{1}{4}} \left(\frac{f_1(U_*)}{f_2(U_*)} \right)^2 \exp \left\{ -0.5 \left(\frac{H_8(U_*)}{f_2(C_0)} \right)^4 \tilde{T}^4 \right\} \quad (27)$$

(27)式より、 H_8 は、 \tilde{T} と U_* の関数として表わせる。

図3、図4、図5、図6、図7、図8、12

以上の統計量の諸関係を図表化したものである。

4 方向スペクトル

Directional Spectrum の形は Longuet-Higgins (1961)

によると、

$$F(\theta, \phi) \propto C (1 + \cos \phi)^{\frac{1}{2}} \propto (\cos \frac{1}{2} \phi)^{\frac{1}{2}} \quad (28)$$

の形をもつ。ここで θ は、波の主方向から ϕ の角度

ここに、 θ は

$$\frac{U_k}{C} = \frac{1}{K_0} \frac{U_k}{C} \quad K_0: \text{カルマン定数} (= 0.40) \quad (29)$$

と共に減少する数である。Longuet-Higgins の観測結果により、次式で仮定する。

$$S = 0.2 \left(\frac{C}{U_k} \right)^{\frac{3}{2}} \quad (30)$$

(30)式に、(29)式及び $C = \frac{g}{T}$ を代入すると 次式を得る。

fig.5 RELATIONS ON μ AND C_{10} AND U_*

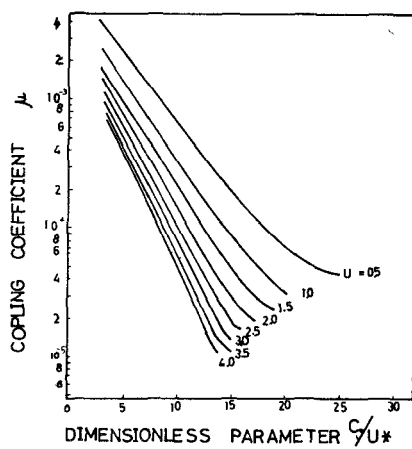


fig.6 RELATIONS ON H_8 AND gk/U_k AND U_*

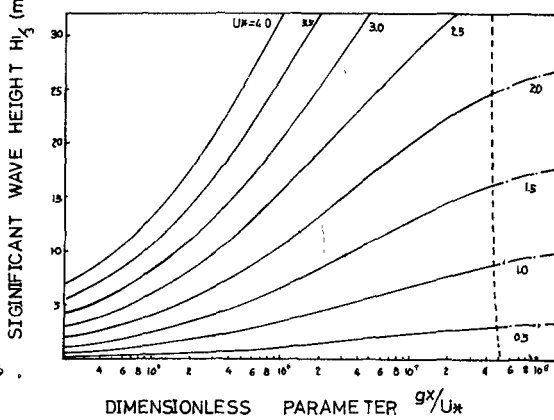
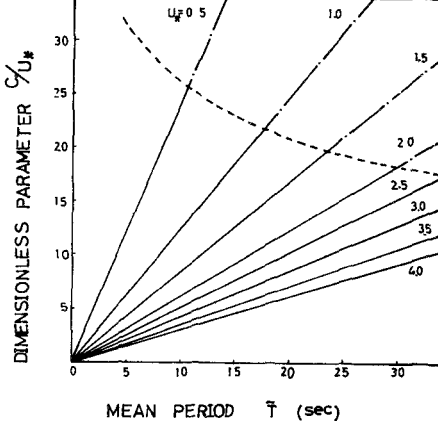


fig.7 RELATIONS ON C_{10} AND T AND U_*



$$S = m \left(\frac{g}{\rho U_*} \right)^{\frac{1}{2}} \quad m = \frac{1}{20}$$

(31)

$\theta = 2^\circ$. Directional Spectrum は.

$$F(\theta, \phi) = \bar{\Phi}(\theta) \cdot G(S) \cdot (\cos \frac{1}{2}\phi)^2 \quad (32)$$

とおく。 (32) 式は、次式を満足すべきである。

$$\int_{-\pi}^{\pi} F(\theta, \phi) d\phi = \bar{\Phi}(\theta) \quad (33)$$

従って、 $G(S)$ は

$$G(S) = S \cdot \frac{2^{2S-2}}{\pi} \frac{\Gamma^2(S)}{\Gamma(2S)} \quad P: \text{ガamma 関数} \quad (34)$$

と なる。 (34) 式を (32) 式に代入すると、Directional Spectrum として 次式を得る。

$$F(\theta, \phi) = S \cdot \frac{2^{2S-2}}{\pi} \frac{\Gamma^2(S)}{\Gamma(2S)} (\cos \frac{1}{2}\phi)^2 \bar{\Phi}(\theta) \quad (35)$$

一般に S は ある程度大きいので、(35) 式は 次式に近似しうる。

$$F(\theta, \phi) = \left(\frac{S}{4\pi} \right)^{\frac{1}{2}} e^{-\frac{1}{4} S \phi^2} \bar{\Phi}(\theta) \quad (36)$$

式(31) と、式(36) に代入すると、

$$F(\theta, \phi) = \frac{1}{2} \sqrt{\frac{m}{\pi}} \left(\frac{g}{\rho U_*} \right)^{\frac{1}{2}} \exp \left\{ -0.25 m \left(\frac{g}{\rho U_*} \right)^{\frac{1}{2}} \theta^2 \right\} \bar{\Phi}(\theta) \quad (37)$$

を得る。ここで $\bar{\Phi}(\theta)$ は、式(14) 式(17) に於ける

Frequency Spectrum である。

4. 計算例

風波の観測記録から、統計量として H_s , T が、得られれば、図3、図4、図5、図6、図7、図8よりそれぞれ U_* , $\frac{gC}{U_*^2}$, $\frac{C_0}{U_*^2}$, μ が求められる。この値を(37) 式に代入すれば Fetch Spectrum が、また、(36) 式に代入すれば Directional Spectrum (スペクトル) が、得られる。

今、観測記録から $H_s = 8.5 \text{m}$, $T = 16.0 \text{sec}$ が、得られると、 $U_* = \frac{gC}{H_s T^2}$, $\frac{C_0}{U_*^2} = 1.0$, $\mu = 3.23 \times 10^{-5}$ と、それぞれ、 $U_* = 1.0$, $\frac{gC}{U_*^2} = 3.6 \times 10^7$, $\frac{C_0}{U_*^2} = 19.8$, $\mu = 3.23 \times 10^{-5}$ となる。

この値を、(37) (39) 両式に代入すると、図9、図10 のようないすスペクトルを得る。

5. 結語

以上の結果は、計算過程にかなりの仮定を含んでいたが、一応二元スペクトルの概念を明らかにすることができたと思う。この結果によると、有義波高、平均周期の2個の統計量から、二元スペクトルが決定しうることになる。また、浅海における二元スペクトル、さらに実測値との比較については、今後研究において報告する予定である。

fig. 8 RELATIONSHIP H_s AND T AND U*

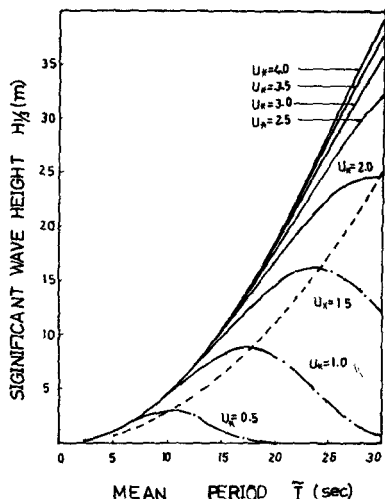
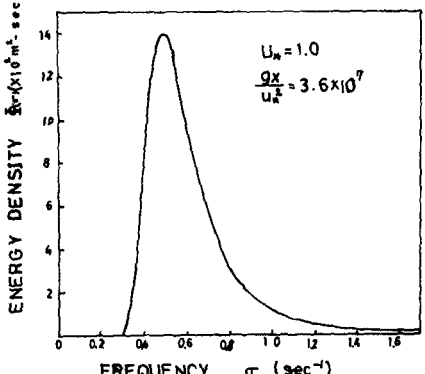


fig. 9 FETCH SPECTRUM



TWO DIMENSIONAL SPECTRUM

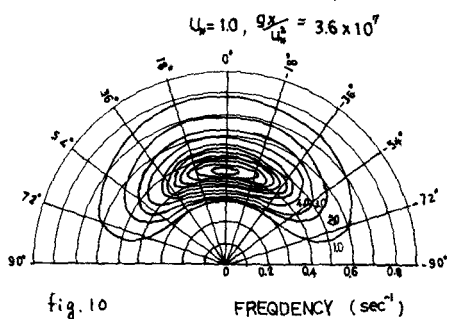


fig. 10

FREQUENCY (sec⁻¹)